

# VII-1 鉄筋コンクリートばかりのせん断破壊機構について

熊本大学工学部 正員 安中久二

## 1. 概要

鉄筋コンクリート構造物の設計計算における当面の課題は、従来のような許容応力度を中心とした弾性学的手法から脱却して、その極限強さ(破壊強さ)を対象にした塑性論的な方式に移行することにあるが、その際の最大の隘路は、部材のせん断強さ(斜引張破壊に対する抵抗力)の問題が未解決のままで残されている点にある。本文は、この問題に対する筆者の基本的な見解を述べ、その解決方法について新しい提案を試みたものである。

## 2. はりの破壊の性状

鉄筋コンクリートばかりの各所に单一の集中荷重を加えて試験すると、一般に図-1に示すような各種の破壊の形式が出現する。すなはち、スパンの中央付近に載荷すると、通常は、荷重の直下に発生した縦ひびわれが上昇し、曲げによって破壊するが、載荷位置が支承に近付くと、これが支承とを結ぶ線上に発生した斜めのひびわれが拡大して、せん断破壊を起こす可能性が強くなり、また、支承の真上付近に載荷すると、支圧による縦ひびわれが発生して破壊する。この場合の曲げ破壊荷重は通常の極限強さの計算式によって予知され、また、支承付近に起る支圧破壊に対しては、載荷板の直下または支承板の直上のコンクリートに働く圧力が限度を越えない限り安全であるから、その対策も容易である。また、図には、スターラップを用いて十分に補強してある場合と、これを欠く場合の2種類のせん断抵抗力を示してあるが、後者については、多数の実験値を基準してその安全範囲を示したACI-ASCE連合委員会の報告書<sup>(注1)</sup>や、はり全体をタイドアーチに見立てて解析するように提唱したKani教授の論文<sup>(注2)</sup>等がある、純理論的とは言えないまでも、かなり信頼度の高い推定計算ができるので、ここでは前者のみをとりあげることにする。なお、スターラップや折曲鉄筋を配置してあっても、それが不十分であったり、荷重が支承に接近して、斜めのひびわれと交差する鉄筋の数が減ってくると、ひびわれが発生する前にコンクリートが負担していたせん断力を、それらの鉄筋によって伝達できなくなるので、事实上、鉄筋がないのと同じになる。この点は誤解されやすいので、注意を要する。

## 3. 計算理論における未知量とその処理方法

筆者は、長方形断面のはりに单一の集中荷重を加えた状態をせん断試験における最も基本的な形と考え、はりの各所に荷重を加えて、その性状を追究しているが、一般に、破壊に直結する斜めの主ひびわれは、図-2に示すような位置に発生する。この部分にスターラップや折曲鉄筋が存在すると、それがひびわれの拡大を抑制して、コンクリートの代わりにせん断力の伝達を受け持つようになるため、さらに荷重が増大しても、十分にこれに対抗する。しかし、荷重の増加によるひびわれの拡大が続いて、その先端が上昇すると、遂には、上部に残されたコ

図-1. はりの破壊荷重

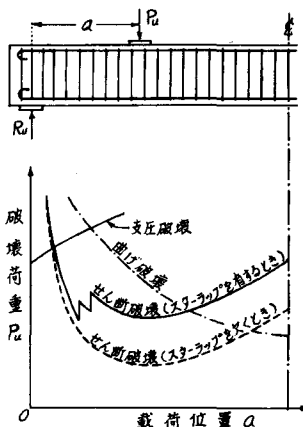
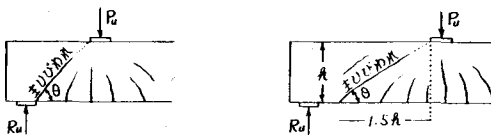


図-2. 主ひびわれの発生位置

(A) 荷重の位置が支承に近いとき (B) 荷重の位置が支承から遠いとき



シクリートだけでは、荷重による直接的な圧力に曲げ圧力の累加した大きな圧縮力に対抗できなくなり、この部分のコンクリートが圧潰して、最終段階に到達する。

いま、斜めのひびわれと、その先端を通る鉛直断面とで区分された図-3のような支承ブロックについて考えると、ひびわれの傾斜角 $\theta$ とその先端の位置 $Z$ 、上部のコンクリートに働く水平圧縮力 $C_c$ とその作用位置 $k_2 Z$ 、この部分に残留するせん断抵抗力 $S_c$ 、引張鉄筋に働く水平引張力 $T_s$ とそのせん断抵抗力 $S_s$ 、各スター・ラップに働く引張力 $T_u$ と支承反力 $R_u$ がこの場合の関係因子となり、このうち、スター・ラップはこれを基に配置してあって、これに働く引張力が図のように左右対称の中高の形に分布するものと想定して、その全合力 $S_u$ を、

$$S_u = \frac{\bar{C}_v A_v l_x}{S} = \frac{\bar{C}_v A_v}{S \tan \theta} (d - Z) \quad \dots \dots \dots (1)$$

ここに、 $A_v$ ：1箇所あたりのスター・ラップの断面積  
 $S$ ：スター・ラップの配置間隔

と表わすとしても、スター・ラップの平均応力度 $\bar{C}_v$ がこれに加わるから、関係する因子の数は9個にも達する。従って、実験の結果からひびわれの傾斜角 $\theta$ と極限反力 $R_u$ を定めても、残りの7個の未知量に対して、通常の上下、左右および回転の3個の力の釣合条件だけでは、どうてい解决できないことになる。

このため著者は、コンクリートの水平圧縮力 $C_c$ とその作用位置に対するては、従来の極限強さ式に準じて、 $C_c = k_1 \bar{C}_{cu} B Z$ 、 $Z = d - k_2 Z$ としたときのStüssiの係数 $k_1$ 、 $k_2$ を、図-4のよう応力状態を考慮して $k_1 = 0.7$ 、 $k_2 = 0.6$ と定め、引張鉄筋のせん断抵抗力 $S_s$ はこれを繊小とみなして無視することにより、未知量の数を4個に整理したうえ、図-5に示すような荷重の伝達経路を考えて、スター・ラップの分担するせん断力を $S_u = R_u \cdot f(\theta)$ 、コンクリートの分担力を $S_c = R_u \{1 - f(\theta)\}$ として力の釣合条件を考えることにした。もっとも、このようにしても未知量の数が減るわけではないが、とくに $\bar{C}_v$ を既知量のように考えて、上記の分配関数 $f(\theta)$ を求める関係式を作ると、つきのようになる。

$$\begin{aligned} R_u &= \frac{l - a}{\ell} P_u, \quad \zeta = \frac{\bar{C}_v A_v}{S \tan \theta} \\ \zeta &= k_1 \bar{C}_{cu} B \tan \theta, \quad A = 2k_2 \zeta - \zeta \\ B &= R_u + d(\zeta - \zeta), \quad C = 2R_u A_v \tan \theta - \zeta d^2 \\ Z &= \frac{B}{A} \left(1 - \sqrt{1 - \frac{AC}{B^2}}\right), \quad f(\theta) = \frac{C}{R_u} (d - Z) \end{aligned} \quad \dots \dots \dots (2)$$

著者の研究によると、はりの各所に荷重をえた一連の試験結果に上式をあてはめ、 $\bar{C}_v$ を $2500 \sim 3500 \text{ kg/cm}^2$ 程度のある一定値にとってこれを算定してみると、

$$f(\theta) = \alpha \cot \theta + \beta \quad (\text{ただし}, \alpha, \beta \text{は実験常数}) \quad \dots \dots \dots (3)$$

の形で表わされる。この場合、ごく常識的に考えると、 $\theta = 90^\circ$ のとき、すなわち、はりを直角に横断するようなひびわれに対するては、スター・ラップが全く無効になつて $f(\theta) = 0$ となるはずであるから、上式において $\beta = 0$ と

図-3. 支承ブロックに加わる力

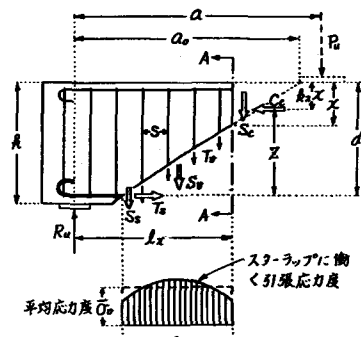


図-4. ひびわれの先端附近の応力分布

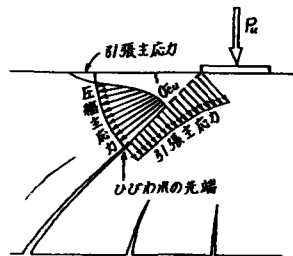
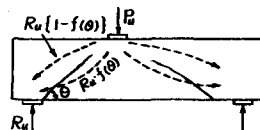


図-5. 荷重の伝達状況



なるような  $\bar{\sigma}_v$  と  $f(\theta)$  を選定することによって、問題が解決される。もっとも、実際には、スターラップの配置の具合等による実験値のばらつきがあるため、これを正確に決定するのは困難であるが、筆者の実験の場合、図-6 のように  $\bar{\sigma}_v = 3000 \text{ kg/cm}^2$  とすると、この条件がほぼ満足され、

$$f(\theta) = \frac{l}{2} \cot \theta \quad (\text{ただし}, \bar{\sigma}_v = 3000 \text{ kg/cm}^2) \quad (4)$$

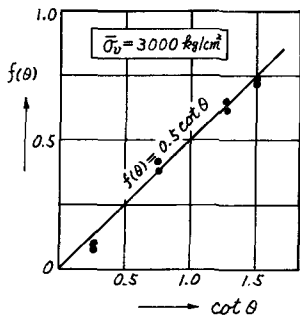
となる。このようにして選定された  $\bar{\sigma}_v$  の値が適切かどうかは、直接的には、ひびわれ面内に現われる各スターラップのひずみを実測することによって確かめられるが、現状ではそれが技術的に困難であって、立証の極め手を欠くが、筆者は、このような手段によって基本的な諸常数を決定し、それを別種の試験例にも適用して、その正当性を間接的に立証していくことが、問題を解決する早道になるものと考えている。

#### 4. セン断強さの計算式

スター・ラップを筋に配置した長方形断面のはりに単一の集中荷重を加えた場合、そのせん断抵抗力（斜引張破壊に対する極限荷重）は次式によつて算出される。

$$\begin{aligned} \zeta &= \frac{\bar{\sigma}_v A_v}{S \tan \theta}, \quad \xi = \frac{k_1 O_{av} B}{\zeta} f(\theta) \cdot \tan \theta \\ A &= 2(1 + k_2 \xi) - f(\theta) \\ B &= d \{ 1 + \xi - f(\theta) \} + a_o \tan \theta \\ C &= 2 a_o \tan \theta - d \cdot f(\theta) \\ X &= \frac{B}{A} \left( 1 - \sqrt{1 - \frac{AC}{B^2} d} \right) \\ R_u &= \frac{\zeta}{f(\theta)} (d - x), \quad P_u = \frac{\ell}{\ell - a} R_u \end{aligned} \quad (5)$$

図-6.  $f(\theta)$  と  $\cot \theta$  の関係



#### 5. 折曲鉄筋が存在する場合、その他

折曲鉄筋の場合は、斜めのひびわれの発生箇所におけるせん断力を伝達するという機能のほかに、ひびわれの拡大を抑制して破壊を遅らせる働きが追加されてくるため、ひびわれとの交差角度によってその効果に差違が現れてくる。筆者の研究によると、はりの軸線に対して  $\alpha$  の傾斜角度をもつた折曲鉄筋に働く平均引張応力度は、

$$\bar{\sigma}_{\theta} = \bar{\sigma}_v (1 + 0.15 \sin 2\alpha \cdot \sin 2\theta) \quad (6)$$

となり、これとスター・ラップとを併用したときのせん断抵抗力は右の(7)式によつて計算される。

なお、上記の各式は、折曲鉄筋やスター・ラップが筋に配置されている場合を想定しているため、その配置間隔が広くて、ひびわれと交差する鉄筋の数が少ないときにこれを用いると、せん断強さがかなり過大に見積られるおそれがある。このような場合の対策や他の荷重状態に対する計算方法等は、別の機会にあらためて発表する積りである。

(注1) ACI-ASCE Committee 326: Shear and Diagonal Tension, Jour. of ACI, Jan. & Feb. 1962

(注2) G. N. J. Kani : The Riddle of Shear Failure and its Solution, Jour. of ACI, April 1964

(注) 上式における  $a_{\theta}$  は 1 個あたりの折曲鉄筋の断面積、  
 $S'$  はその水平配置間隔 (はりの軸線方向の配置間隔) である。